

湾水振動の非線形数値モデルの開発と 形状による港湾の応答特性変化について

Asur Baris DERUN*・柿沼太郎**・磯部雅彦***

種々の港湾形状が湾水振動に与える影響について検討するための数値解析モデルを提案する。対象領域を領域分割して ADI 法を適用することにより、基礎方程式である非線形緩勾配方程式を解く。線境界入射法、スponジ・レイヤ及び Sommerfeld の放射条件を組み合わせて、効果的な無反射入射波境界を開発した。規則波、または、不規則波を造波し、非線形干渉によって生じた長周期波が港湾内で選択的に増幅され、更に、港外に出て造波境界で吸収される現象をシミュレートした。I型、L型、F型、T型、そして、Y型の各形状を有する港湾を対象として、水面変動の周波数スペクトルの比の平方根によって定義した港内の増幅率を算出し、比較・検討を行なった。

1. 序論

湾水振動は、船舶の停泊や荷役に対して非常に重要な問題であり、港湾の計画・設計に際し、発生する反射波や長周期波の特性を予測しておく必要がある。ところが、湾水振動は、“harbor paradox” (Miles・Munk, 1961) といった複雑さを呈し、また、実際の港湾は、様々な形状を有するため、港湾内の各場所でその特性が異なる。更に、発生外力においても波の非線形干渉を含む複雑なメカニズムが存在し、従って、湾内の埋立・浚渫や干潟の干拓等による水域の形状変化が、共振作用等の長周期波に対する応答特性に影響を及ぼす可能性がある。

こうした湾水振動について、様々な研究がなされてきた。例えば、複数の港湾が結合された場合の湾水振動を実験と理論によって扱ったのは、Raichlen・Ippen (1965) であった。そして、任意の形状を有する港湾に対する解析法が、Hwang・Tuck (1970), Lee (1971), Lee・Raichlen (1972) や佐藤ら (1988) によって開発された。また、湾水振動において重要な波の非線形性は、Bowers (1977), Mei・Agnon (1989) や喜岡ら (1988) によって扱われ、短周期波群の入射による港湾内の長周期自由波・拘束波の発生機構等に関して非線形性の効果が議論されている。更に、木村ら (1997) は、任意のスペクトルを持つ入射波に適用可能な解析法を提案し、不規則入射波に伴う湾水振動特性を調べた。現地港内の解析は、金山ら (1995) や喜岡ら (1996) により、Boussinesq 方程式に基づいて行なわれている。

本研究では、湾水振動の特性を定量的に検討するために、主港湾と幾つかの副港湾からなる様々な形状を有する港湾に適用可能な、無反射入射波境界を有する非線形数値解析モデルを開発する。そして、港湾外から入射する風波の非線形干渉波によって生成される湾水振動の数

値シミュレーションを行ない、種々の形状の港湾に対する結果を比較・検討する。

2. 基礎方程式と境界条件

(1) 基礎方程式

式 (1) 及び (2) に示す非線形緩勾配方程式 (磯部, 1994) を基礎方程式とし、波の非線形性を考慮する。

$$Z_a^{\eta} \frac{\partial \eta}{\partial t} + \nabla (A_{ab} \nabla f_b) - B_{ab} f_b \\ + (C_{ba} - C_{ab}) \nabla f_b \nabla h + \frac{\partial Z_b^{\eta}}{\partial h} Z_a^{\eta} f_b \nabla \eta \nabla h = 0 \dots (1)$$

$$g\eta + Z_b^{\eta} \frac{\partial f_b}{\partial t} + \frac{1}{2} Z_a^{\eta} Z_b^{\eta} \nabla f_a \nabla f_b \\ + \frac{1}{2} \frac{\partial Z_a^{\eta}}{\partial z} \frac{\partial Z_b^{\eta}}{\partial z} f_a f_b + \frac{\partial Z_b^{\eta}}{\partial h} Z_b^{\eta} f_a \nabla f_b \nabla h = 0 \dots (2)$$

ここで、 Z_a 及び f_a は、それぞれ、鉛直分布関数及びその重み係数である。また、 η , h 及び g は、それぞれ、水面変動、静水深及び重力加速度であり、 A_{ab} , B_{ab} 及び C_{ab} は、それぞれ、鉛直分布関数の関数形を与えたときに定まる係数である。

(2) 無反射入射波境界

波の入射は、線境界入射法 (石井ら, 1993) を用いて行なう。これに、入射境界で反射波が発生しないよう、スponジ・レイヤ (Larsen・Dancy, 1983) 及び Sommerfeld の放射条件を組み合わせて、効果的な無反射入射波境界を開発した。

このうち、スponジ・レイヤでは、次式のパラメタ $\mu(x)$ によって、波と流れを分離する。

$$\mu(x) = \exp((2^{-bx_1/\Delta x} - 2^{-bx_s/\Delta x}) \ln a) \dots (3)$$

ここで、 x_s は、スponジ・レイヤ長であり、 a は、差分格子の格子数に依存する定数である。また、 b は、本研究で導入した係数であり、これによりスponジ・レイヤ長を短くするといった効率化を図る。

一方、Sommerfeld の放射条件は、波の位相速度を C とすると、次式で表される。

* 博(工) 東京大学助手大学院新領域創成科学研究所
環境学専攻

** 正会員 博(工) (独法) 港湾空港技術研究所 海洋・水工部
*** フェロー 工 博 東京大学教授大学院新領域創成科学研究所
環境学専攻

$$\frac{\partial \eta}{\partial x} + \frac{1}{C} \frac{\partial \eta}{\partial t} = 0, \quad \frac{\partial f_a}{\partial x} + \frac{1}{C} \frac{\partial f_a}{\partial t} = 0 \quad \dots \dots \dots (4)$$

(3) 入射波の造波

規則波は、次式によって造波する。

$$\phi = \sum_{a=1}^N Z_a f_a \equiv Z_a f_a \quad \dots \dots \dots (5)$$

$$Z_a = \left(1 + \frac{z}{h}\right)^{2(a-1)} \quad \dots \dots \dots (6)$$

$$f_a = \frac{gH}{2\sigma} \frac{(kh)^{2(a-1)}}{\{2(a-1)\}! \cosh kh} \sin(kx - \sigma t) \quad \dots \dots \dots (7)$$

$$\eta = \frac{H}{2} \cos(kx - \sigma t) \quad \dots \dots \dots (8)$$

ここで、 ϕ 、 H 、 k 及び σ は、それぞれ、速度ポテンシャル、波高、波数及び角周波数である。 N は、用いる鉛直分布関数の個数である。

他方、不規則波の造波では、次式で表される Bretschneider・光易スペクトルを用いる。

$$S(f) = 0.257(H_{1/3})^2 T_{1/3} (T_{1/3} f)^{-5} \cdot \exp(-1.03(T_{1/3} f)^{-4}) \quad \dots \dots \dots (9)$$

ここで、 f は、周波数である。 $f^{(1)}$ と δ を与えて、 $f^{(i+1)} = \delta f^{(i)} (i=1, 2, \dots)$ によって順に選ばれる各周波数に対応する周波数帯のスペクトルより振幅を算出し、式(5)～(8) によって造波を行なう。

3. 種々の港湾形状に対応する数値解析モデル

(1) I型港湾

幾つかの矩形の計算領域を組み合わせることによって、様々な港湾形状を表現する。図-1 に矩形港湾を示す。図-1 の右図において、2 の領域 ($1.5 \text{ m} \times 0.3 \text{ m}$ の部分) が矩形港湾であり、1 の領域が外海である。1 の領域内に、入射のための線境界及びスponジ・レイヤがある。スponジ・レイヤの長さは、12 m とする。この矩形港湾が港湾形状の基本形であり、これを “I” 型港湾と呼ぶ。

基礎方程式系は、ADI 法を用いて解く。その際、 x -sweep では、図-1 の左図のように、 $1 \rightarrow 2 \rightarrow 3$ と領域を 3 分割して差分方程式を順に解き、 y -sweep では、図-1

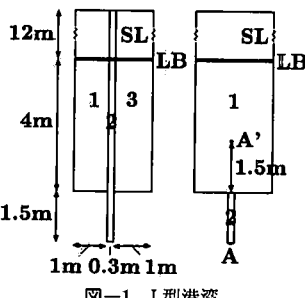


図-1 I型港湾

の右図のように、 $1 \rightarrow 2$ と 2 分割して解く。

(2) L型、F型、T型及びY型港湾

次に、I型港湾を主港湾とし、副港湾となる $0.5 \text{ m} \times 0.5 \text{ m}$ の大きさの正方形港湾を組み合わせて、“L”型、“F”型、そして、“T”型港湾を作成する。これらを図-2～4 に示す。また、図-5(a), (b) 及び (c) は、副港湾の寸法が異なる “Y” 型港湾であり、 x -sweep で領域を 6 分割し、 y -sweep で 7 分割して ADI 法を適用する。

4. 無反射入射波境界の検証

造波境界において反射が発生していないことを確かめるために、計算格子の岸側端点における水面変動の検証を行なう。図-6 に、港湾がない場合、すなわち、図-1 右図の 1 の領域における、波高 $5.0 \times 10^{-3} \text{ m}$ 、周期 1 s の入射波に対する検証結果を示す。静水深は、0.23 m で一定とする。図-6 に示した 0～0.5 の大きさをとるプロットの値は、完全反射と仮定した岸側境界における波高の

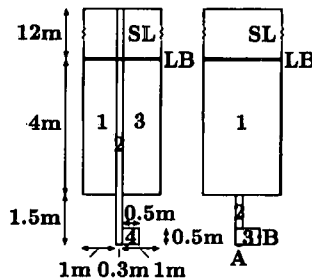


図-2 L型港湾

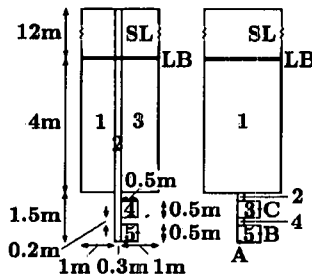


図-3 F型港湾

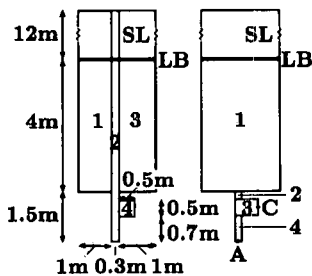


図-4 T型港湾

計算値と入射波高の2倍の比について、 $t=12\sim24$ (s)の計算時間内の2s間隔の時刻における値を抽出して算出した標準偏差である。この場合、スponジ・レイヤ(SL)のx方向の長さを12mとすることにより、入射境界に

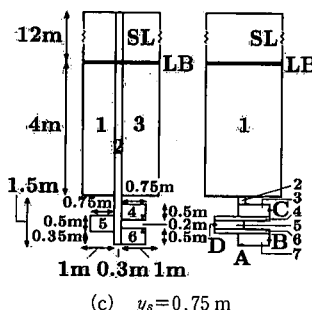
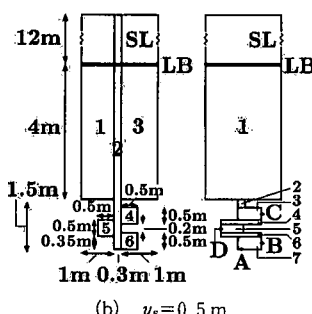
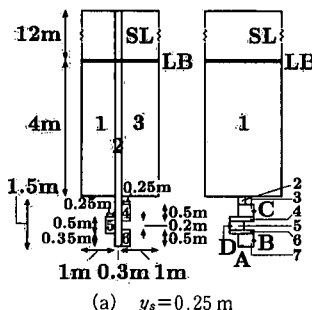


図-5 副港湾のy軸方向の長さ y_s が異なる3種類のY型港湾

おいて反射がほとんど生じないことがわかる。

5. 湾水振動の数値計算

(1) 入射波が規則波である場合の湾水振動

図-1～5の各港湾に対し、規則波を入射して数値計算を行なった。その際に、静水深を全領域で一定値1.24mとし、初期条件として静水状態を与えた。壁面では、完全反射の条件、すなわち、 $\partial\eta/\partial n=0$ かつ $\partial f_c/\partial n=0$ を与えた。格子幅は、 $\Delta x=\Delta y=5.0\times10^{-2}$ mとし、計算時間間隔は、 x -sweepと y -sweepを併せて $\Delta t=5.0\times10^{-3}$ sとした。また、入射波高を 5.0×10^{-3} mとし、各定数を $a=2.0$ 、 $b=0.1$ 及び $N=2$ とした。

図-7に、図-1のI型港湾に対して周期 $T=2.4$ sの波を入射したときの時刻 $t=30$ sにおける水面形を示す。また、図-8、9は、図-5(b)のY型港湾における水面形である。Y型港湾やF型港湾では、主港湾の振動の主軸に直交する方向の振動が副港湾内に発生する。

いま、増幅率 AF (amplification factor)を次式によつ

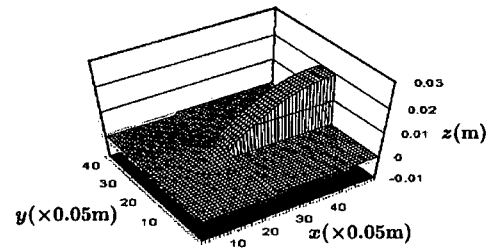


図-7 I型港湾における水面形($T=2.4$ s, $t=30$ s)

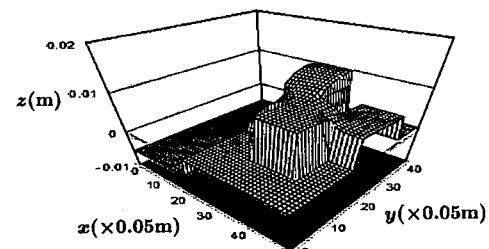


図-8 Y型港湾(b)における水面形($T=3.8$ s, $t=75$ s)

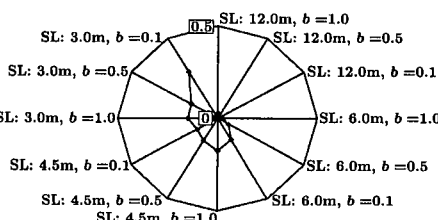


図-6 無反射入射波境界の検証(岸側境界における波高の計算値と入射波高の2倍の比の標準偏差; $H=5.0\times10^{-3}$ m, $T=1.0$ s, $\Delta x=\Delta y=5.0\times10^{-2}$ m, $\Delta t=5.0\times10^{-3}$ s, $a=2.0$)

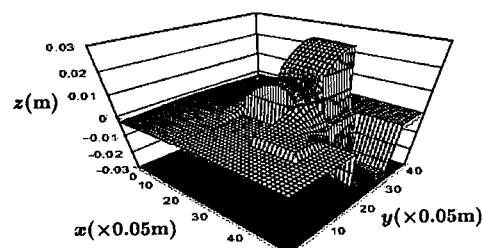


図-9 Y型港湾(b)における水面形($T=1.55$ s, $t=30$ s)

て定義する。

ここで、 S_1 及び S_2 は、それぞれ、港湾内部における波の周波数スペクトルのピーク値及び港湾外部における入射波の周波数スペクトルのピーク値である。図-1～5の各港湾に対する数値計算結果より、增幅率 AF を算出した結果を図-10～14に示す。地点別に、線種や○等の印によって AF 曲線を区別している。ここで、 l は、主港湾の港湾長である。スペクトル解析には、FFT を用いた。

Y型港湾のように複雑な形状を有する港湾では、第1ピークの値がI型港湾やL型港湾よりもずっと小さい。これは、主振動軸と直行する副港湾内の振動の寄与による。また、異なる大きさの副港湾を有するY型港湾のAF値を比較すると、副港湾がy方向に長いほど、波の散乱効果が高まり、增幅率が減少して、基本モードの振動の周期が長くなる。このように港湾形状がより複雑であるほど、AF曲線の覆う面積(曲線より下の部分)が小さくなるが、これは、全体的に增幅率が減少し、長周期波も抑制されることを意味する。なお、渦粘性や海底摩擦を無視しているから、実際の増幅率は、ここで示した計算値より、特に高周波数振動に対して小さくなるであろう。

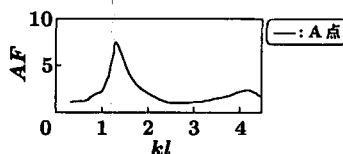


図-10 I型港湾における增幅率

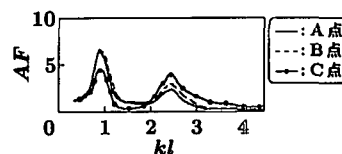


図-12 F型港湾における增幅率

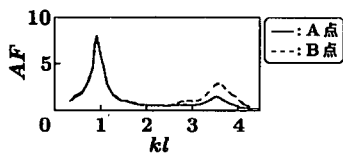


図-11 L型港湾における增幅率

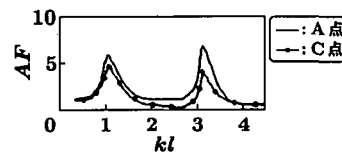
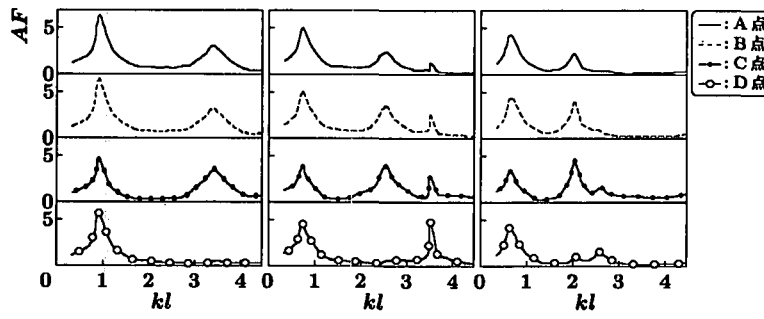


図-13 T型港湾における增幅率



(a) $y_s=0.25 \text{ m}$ (b) $y_s=0.5 \text{ m}$ (c) $y_s=0.75 \text{ m}$

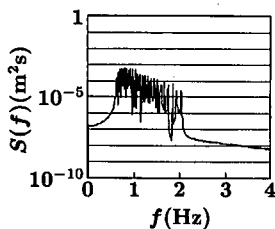


図-15 不規則波の入射波のスペクトル

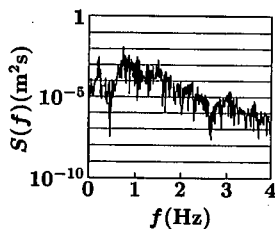


図-16 I型港湾内のA点におけるスペクトル

すなわち、周波数を小さい値から順に離散的に選択し、初めの11個の周波数に対して AF 値の平均をとり、これを6番目の周波数 $f^{(6)}$ に対応する値とする。次の11個の周波数に対する AF の平均値は、 $f^{(17)}$ における値とする。この操作を選択した $f^{(i)}$ に対して繰り返す。こうして得られたフィルタリング後の増幅率 AF を図-17に示す。不規則短周期波の非線形干渉によって、港湾内に長周期波が生成されている。

6. 結論

種々の形状を有する港湾の港内・外における波の場を対象とする非線形数値解析モデルを開発した。入射境界で反射波が発生しないよう、線境界入射法、スponジ・レイヤ及びSommerfeldの放射条件を組み合わせて、無反射入射波境界を作成した。本モデルを用いて、規則波、または、不規則波を造波し、非線形干渉によって生じた長周期波が港湾内で選択的に增幅され、更に、港外に出て造波境界で吸収される現象をシミュレートし、本モデルの湾水振動予測に対する有効性を確認した。そして、水面変動の周波数スペクトルの比の平方根によって定義した港内の増幅率を算出し、増幅率曲線を比較することによって、港湾形状が湾水振動に与える影響について検討した。

その結果、1)Y型港湾やF型港湾では、主港湾内の主振動軸と直行する振動が副港湾内に発生するため、増幅率が減少し、湾水振動が抑制される、2)Y型港湾では、副港湾が沿岸方向に長いほど増幅率が減少する、3)L型港湾及びT型港湾では、副港湾が主港湾の港奥近くにあるとき、基本モードの振動が増大し、逆に、副港湾が主港湾の港口近くにあるとき、第2モードの振動が増大す

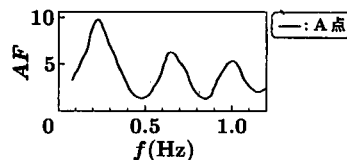


図-17 不規則波を入射したときのI型港湾における増幅率

る、4)港湾内で最大の振動が現れる位置は、基本モードと第2モードで異なる、5)不規則短周期波の非線形干渉によって、港湾内に長周期波が生成される、等の現象が再現された。

今後は、水理実験を行なうとともに、本モデルを用いて湾水振動に対する波の非線形性の影響についての考察を深め、長周期波の発生を抑える港湾形状を系統的に見出す手法を開発したい。

参考文献

- 石井敏雅・磯部雅彦・渡辺晃 (1993): 非定常緩勾配不規則波動方程式における境界条件の改良と実用化の試み、海岸工学論文集、第40巻、pp. 31-35.
- 磯部雅彦 (1994): 波浪変形解析のための波動方程式の比較研究、土木学会論文集、No. 491/II-27, pp. 1-14.
- 金山進・田口智・清水琢三・長船徹・植木一浩・中原和彦 (1995): ブシネスク方程式による港内長周期水位変動の数値計算、海岸工学論文集、第42巻、pp. 291-295.
- 喜岡涉・飯田耕三・石田昭 (1988): 非線形長周期波の湾水振動、第35回海岸工学講演会論文集、pp. 242-246.
- 喜岡涉・柏原謙爾・相川久紀・田中正博 (1996): 多方向不規則波による港内副振動の予測モデルとその適用性、海岸工学論文集、第43巻、pp. 196-200.
- 木村晃・喜田昌裕・山崎樹実也 (1997): 不規則波による湾水の長周期振動について、海岸工学論文集、第44巻、pp. 251-255.
- 佐藤典之・磯部雅彦・泉宮尊司 (1988): 任意形状港湾に対する不規則波の港内波高分布計算法の改良、第35回海岸工学講演会論文集、pp. 257-261.
- Bowers, E. C. (1977): Harbour resonance due to set-down beneath wave groups, J. Fluid Mech., Vol. 79, pp. 71-92.
- Hwang, L.-S. and E. O. Tuck (1970): On the oscillations of harbours of arbitrary shape, J. Fluid Mech., Vol. 42, pp. 447-464.
- Larsen, J. and H. Dancy (1983): Open boundaries in short wave simulations—A new approach, Coastal Eng., Vol. 7, pp. 285-297.
- Lee, J.-J. (1971): Wave-induced oscillations in harbours of arbitrary geometry, J. Fluid Mech. Vol. 45, pp. 375-394.
- Lee, J.-J. and F. Raichlen (1972): Oscillations in harbors with connected basins, J. Waterways, Harbors and Coastal Eng. Division, ASCE, Vol. 98, No. WW3, pp. 311-332.
- Mei, C. C. and Y. Agnon (1989): Long-period oscillations in a harbour induced by incident short waves, J. Fluid Mech. Vol. 208, pp. 595-608.
- Miles, J. and W. Munk (1961): Harbor paradox, J. Waterways and Harbors Division, ASCE, Vol. 87, No. WW3, pp. 111-130.
- Raichlen, F. and A. T. Ippen (1965): Wave induced oscillations in harbors, J. Hydraulics Division, ASCE, Vol. 91, No. HY2, pp. 1-26.